

บทที่ 2

ทฤษฎีและงานวิจัยที่เกี่ยวข้อง

2.1 ไอโซน

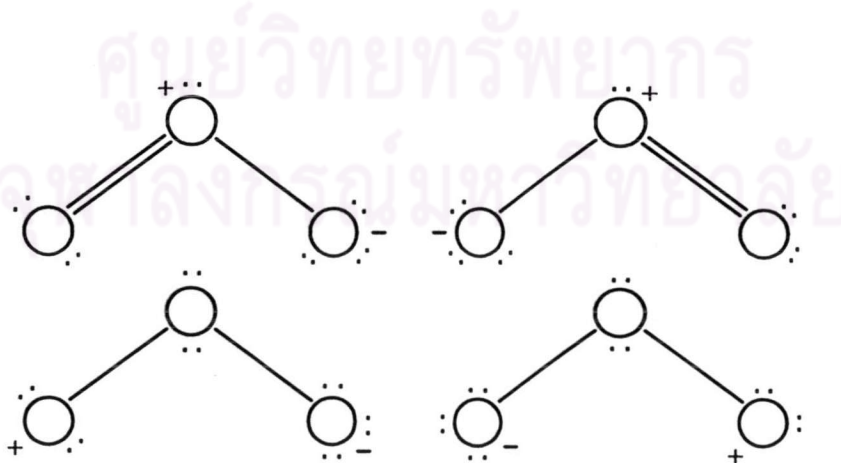
2.1.1 คุณลักษณะของไอโซน

ไอโซนคือก๊าซสีน้ำเงินอ่อนที่ประกอบด้วยอะตอมของออกซิเจนสามอะตอมต่อเชื่อมกัน โดยมีมุมระหว่างพันธะทั้งสองข้าง $116^{\circ}49'$ องศา $49'$ ลิปดา พันธะระหว่างอะตอมออกซิเจนมีความยาว 1.278 อังสตรอม และแสดงคุณสมบัติมีขั้วอ่อนๆ

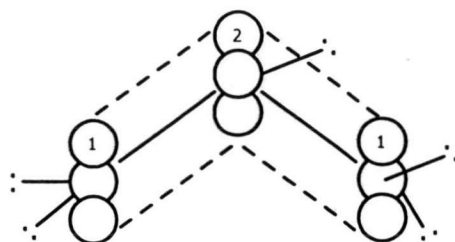


รูปที่ 2.1 โมเลกุลไอโซน

อะตอมออกซิเจนสามอะตอมภายในโมเลกุลไอโซนจะมีการใช้อิเล็กตรอนร่วมกัน เรียกปรากฏการณ์นี้ว่า เรโซแนนซ์ (resonance) ดังรูปที่ 2.2 และสามารถเขียนภาพแสดงโครงสร้างโมเลกุลอย่างง่ายได้ดังรูปที่ 2.3



รูปที่ 2.2 ปรากฏการณ์เรโซแนนซ์ภายในโมเลกุลไอโซน



รูปที่ 2.3 โครงสร้างอย่างง่ายของโมเลกุลไอโซน

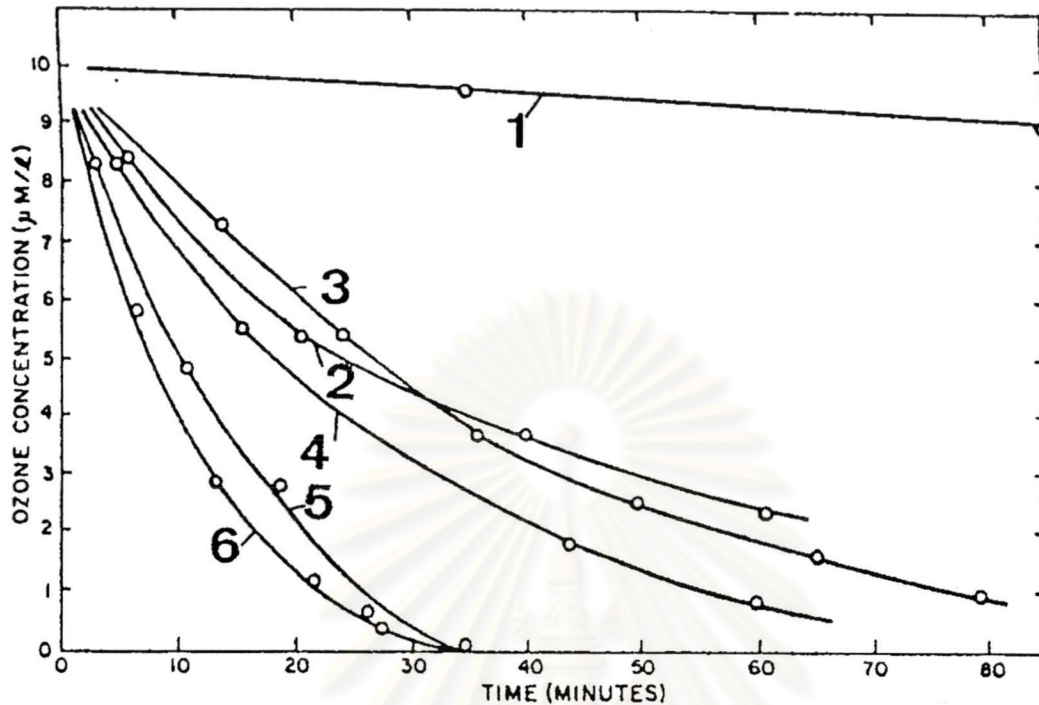
จากโครงสร้างโมเลกุลของไอโซนแสดงให้เห็นถึงความไม่มีเสถียรภาพ ดังจะเห็นได้จากค่าพลังงานการก่อเกิด (Energy of formation) ของไอโซนมีค่า 38.86 กิโลแคลอรีต่อโมลเทียบกับก๊าซออกซิเจนที่มีค่าเท่ากับศูนย์ โดยที่อุณหภูมิห้องโมเลกุลไอโซนสองโมเลกุลสามารถทำปฏิกิริยากันเองเกิดเป็นก๊าซออกซิเจน

ไอโซนเป็นสารที่มีความสามารถในการออกซิไดซ์ได้ดี เนื่องจากมีค่าอิเล็กโตรเนกาทีฟออกซิเดชันโพเทนเชียล (electronegative oxidation potential) ที่สูงมาก ไอโซนจึงสามารถทำปฏิกิริยากับโมเลกุลของสารอื่นๆ ได้มากมาย ไม่ว่าจะเป็นกลุ่มฟังก์ชันของสารอินทรีย์เช่น โอลิฟินิก (olefinic) อะซีทิลเลนิค (acetylenic) พันธะคู่หรือพันธะสามระหว่างอะตอมคาร์บอน พันธะระหว่างคาร์บอนกับไนโตรเจน พันธะระหว่างคาร์บอนกับไฮโดรเจนในโมเลกุลแอลกอฮอล์ (alcohols) อีเทอร์ (ethers) อัลดีไฮด์ (aldehydes) เอมีน (amines) หรือโมเลกุลของสารจำพวก ซัลไฟด์ (sulfides) ซัลไฟไซด์ (sulfoxides) ฟอสไฟด์ (phosphines) ฟอสไฟท์ (phosphites) รวมถึงพันธะระหว่างคาร์บอนกับโลหะต่างๆ

ไอโซนบริสุทธิ์มีจุดหลอมเหลวที่ -192.5 ± 0.4 องศาเซลเซียส และมีจุดเดือดที่ -111.9 ± 0.3 องศาเซลเซียส ที่อุณหภูมิต่ำกว่าจุดเดือดไอโซนจะควบแน่นเป็นของเหลวสีน้ำเงินเข้มที่มีคุณสมบัติระเบิดได้ง่าย ของผสมระหว่างไอโซนกับออกซิเจนทั้งในสภาวะของเหลวและก๊าซที่มีความเข้มข้นของไอโซนมากกว่าร้อยละ 20 มีคุณสมบัติระเบิดได้เช่นเดียวกันหากได้รับพลังงานกระตุ้นจากตัวเร่งปฏิกิริยา การกระแทก ประกายไฟฟ้า หรือการเปลี่ยนแปลงอุณหภูมิอย่างกะทันหัน

2.1.2 เสถียรภาพของไอโซน

ไอโซนในสถานะก๊าซจะมีครึ่งชีวิต (half life) ค่อนข้างนาน กล่าวคือประมาณ 12 ชั่วโมงที่อุณหภูมิห้อง แต่เมื่อละลายอยู่ในของเหลวเวลาครึ่งชีวิตจะสั้นลงอย่างมาก มีการทดลองพบว่า ไอโซนที่ละลายในน้ำกลั่นมีเวลาครึ่งชีวิตเพียงประมาณ 20 นาทีเท่านั้น และเมื่อความบริสุทธิ์ของน้ำลดลง เวลาครึ่งชีวิตของไอโซนที่ละลายอยู่ในน้ำจะยิ่งสั้นลง



รูปที่ 2.4 อัตราการสลายตัวของโอโซนในน้ำชนิดต่างๆที่อุณหภูมิ 20 องศาเซลเซียส [Rice และคณะ, 1986] (1 = น้ำกลั่นสองครั้ง (double-distilled water), 2 = น้ำกลั่น (distilled water), 3 = น้ำประปา (tap water), 4 = น้ำผิวดินที่มีความกระด้างต่ำ (low hardness groundwater), 5 = น้ำกรองจากทะเลสาบ Zurich (filtered water from Lake Zurich), 6 = น้ำกรองจากแม่น้ำ Bodensee (filtered water from the Bodensee))

จากรูปจะเห็นได้ว่าเวลาครึ่งชีวิตของโอโซนที่ละลายอยู่ในน้ำมีค่าอยู่ในช่วงต่ำกว่า 10 นาทีในน้ำจากแหล่งน้ำธรรมชาติไปจนมากกว่า 1 ชั่วโมงในน้ำกลั่นสองครั้ง และจากคุณสมบัติความไม่เสถียรของโอโซนดังกล่าวมาแล้ว จึงทำให้ไม่สามารถผลิตโอโซนเก็บไว้เป็นเวลานานได้ จำเป็นต้องทำการผลิตและนำมาใช้งานในทันที

2.1.3 การผลิตโอโซน

โอโซนเกิดจากการแยกตัวแล้วกลับมารวมตัวกันใหม่อีกครั้งของโมเลกุลออกซิเจน แต่ปฏิกิริยาดังกล่าวไม่สามารถเกิดได้เองในสภาวะปกติ อีกทั้งโมเลกุลโอโซนมีคุณสมบัติสลายตัวได้ง่าย



พลังงานสุทธิที่ใช้ในการก่อตัวเกิดเป็นโอโซนมีค่า 142.3 กิโลจูลต่อโมล โดยกลไกการเกิดปฏิกิริยาเป็นดังสมการ



กระบวนการผลิตโอโซนมีหลายวิธีโดยสามารถแบ่งตามหลักการที่ใช้ได้ดังนี้

2.1.3.1 การทำปฏิกิริยาโฟโตเคมีคอล (Photochemical Reactions)

การผลิตโอโซนด้วยวิธีการทำปฏิกิริยาโฟโตเคมีคอล (Photochemical) เป็นการเลียนแบบการแผ่รังสีอัลตราไวโอเล็ตจากดวงอาทิตย์มายังโลก ซึ่งก่อให้เกิดโอโซนในชั้นบรรยากาศ โดยใช้คุณสมบัติของแสงอัลตราไวโอเล็ตที่มีความยาวคลื่น 185 นาโนเมตรจะทำให้เกิดโอโซน ขณะที่แสงอัลตราไวโอเล็ตที่มีความยาวคลื่น 254 นาโนเมตรจะทำลายโอโซนดังสมการที่ 2.4 และการผลิตโอโซนโดยวิธีนี้พบว่าประสิทธิภาพสูงสุดของเครื่องผลิตที่ใช้หลักการนี้จะอยู่ในช่วง 16-20 กรัมโอโซนต่อกิโลวัตต์ชั่วโมง



2.1.3.2 วิธีเรดิโอเคมีคอล (Radiochemical Generation หรือ Cold Plasma)

วิธีเรดิโอเคมีคอลเป็นการนำโมเลกุลออกซิเจนไปผ่านนิวตรอนที่มีพลังงานสูงเช่น รังสีแกมมาหรือรังสีเบตา ซึ่งจะทำให้โมเลกุลออกซิเจนรวมตัวกันเกิดเป็นโอโซน ด้วยวิธีการนี้จำเป็น

ต้องใช้อุปกรณ์ที่ค่อนข้างสลับซับซ้อนและต้องใช้ออกซิเจนที่อยู่ในรูปของเหลว โดยเครื่องผลิตที่ใช้หลักการนี้จะมีประสิทธิภาพสูงสุดของเครื่องผลิตอยู่ในช่วง 30-40 กรัมไอโซนต่อกิโลวัตต์ชั่วโมง

2.1.3.3 วิธีอิเล็กโทรไลติก (Electrolytic Generation หรือ Corona discharge)

วิธีอิเล็กโทรไลติกเป็นการผลิตไอโซนโดยการใช้ประจุไฟฟ้าเหนี่ยวนำให้โมเลกุลก๊าซออกซิเจนเกิดการแตกตัว ซึ่งมีหลักการคล้ายกับการเกิดไอโซนตามธรรมชาติภายหลังการเกิดฟ้าแลบ โดยจะปล่อยไฟฟ้ากระแสตรงไปยังขั้วไฟฟ้า และให้ก๊าซเคลื่อนที่ผ่านขั้วไฟฟ้าทั้งสอง วิธีนี้ค่อนข้างง่ายและมีประสิทธิภาพพอสมควร

ตารางที่ 2.1 คุณลักษณะเด่นและด้อยของกระบวนการผลิตไอโซนวิธีต่างๆ

วิธี	คุณลักษณะเด่น	คุณลักษณะด้อย
Photochemical Reactions	<ul style="list-style-type: none"> - ต้นทุนการผลิตต่ำ - การควบคุมสภาวะการผลิตทำได้ง่าย 	<ul style="list-style-type: none"> - ความเข้มข้นของไอโซนที่ผลิตได้มีค่าไม่สูงนัก - ความเข้มข้นของไอโซนที่ผลิตได้ขึ้นกับอัตราการป้อนก๊าซ ไม่สามารถควบคุมความเข้มข้นได้อย่างอิสระ - หลอดไฟจะเสื่อมสภาพตามเวลาที่ใช้ และต้องเปลี่ยนตามระยะเวลาที่กำหนด (โดยทั่วไปประมาณ 10,000 ชั่วโมง)
Radiochemical Generation	<ul style="list-style-type: none"> - ความเข้มข้นของไอโซนที่ผลิตได้มีค่าค่อนข้างสูง - การควบคุมสภาวะการผลิตทำได้ง่าย - ไม่ต้องเปลี่ยนหลอดไฟ 	<ul style="list-style-type: none"> - ความเข้มข้นของไอโซนที่ผลิตได้ขึ้นกับอัตราการป้อนออกซิเจน ไม่สามารถควบคุมความเข้มข้นได้อย่างอิสระ - ต้นทุนการผลิตปานกลาง
Electrolytic Generation	<ul style="list-style-type: none"> - ต้นทุนการผลิตค่อนข้างต่ำ - การควบคุมสภาวะการผลิตทำได้ง่าย 	<ul style="list-style-type: none"> - ความเข้มข้นของไอโซนที่ผลิตได้มีค่าค่อนข้างต่ำ - ต้องการการบำรุงรักษา

2.1.4 การใช้ประโยชน์จากไอโซน

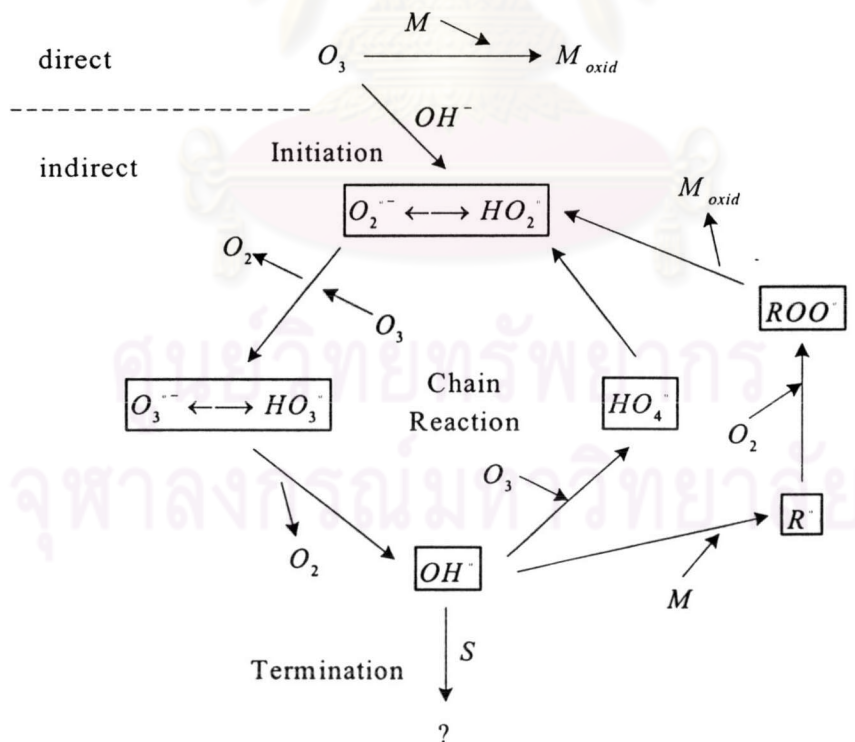
ไอโซนเป็นสารออกซิไดส์ที่ดี จึงนำไปใช้ในวัตถุประสงค์ต่างๆ เช่น การกำจัดสี กลิ่น รส ลดความขุ่น และกำจัดสารอินทรีย์ นอกจากนั้นสามารถนำไปใช้กำจัดเชื้อโรคได้อย่างมีประสิทธิภาพโดยไม่ต้องใช้สารเคมีอื่นๆช่วย เช่น ใช้ในอุตสาหกรรมน้ำดื่ม ใช้ฆ่าเชื้อในสระว่ายน้ำ เป็นต้น ซึ่ง

การนำโอโซนไปใช้งานนี้พบตั้งแต่ปี 1906 โดยได้มีการศึกษาผลของโอโซนที่มีต่อระบบการย่อยอาหารของปลาหลายชนิด และมีการนำโอโซนมาใช้ในอุตสาหกรรมการเลี้ยงปลาที่มีการนำน้ำกลับมาใช้ใหม่

2.1.5 ปฏิกริยาที่เกี่ยวข้องกับโอโซน

โอโซนเป็นสารที่มีความสามารถในการออกซิไดส์สูงมากทำให้โมเลกุลโอโซนที่ละลายอยู่ในน้ำมีความไม่เสถียรอย่างยิ่ง โอโซนส่วนหนึ่งจะทำปฏิกิริยากับสารที่อยู่ในน้ำ และอีกส่วนหนึ่งจะสลายตัว การสลายตัวของโอโซนเป็นปฏิกิริยาต่อเนื่องที่มีความซับซ้อนซึ่งก่อให้เกิดสารประกอบอีกหลายชนิด การสลายตัวอาจเกิดขึ้นจากสารที่อยู่ในน้ำ เช่น ไฮดรอกไซด์ไอออน (hydroxide ions) หรือการถูกกระตุ้นด้วยแสงอัลตราไวโอเล็ต [Gottschalk และคณะ, 2000]

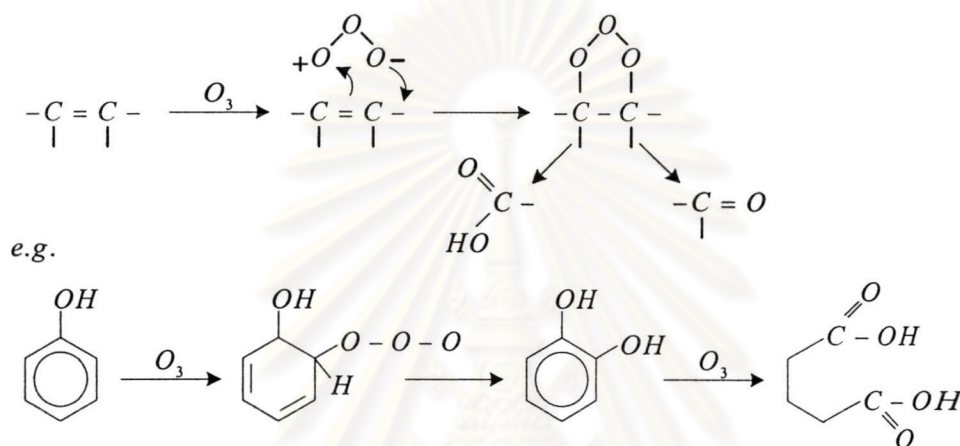
กลไกการเข้าทำปฏิกิริยาของโอโซนสามารถแบ่งได้สองลักษณะได้แก่ การทำปฏิกิริยาทางตรงของโอโซนกับสารประกอบต่างๆและการทำปฏิกิริยาทางอ้อมโดยโอโซนจะก่อให้เกิดไฮดรอกซิลแรดิคอล (hydroxyl radicals) ที่สามารถทำปฏิกิริยากับสารประกอบต่างๆได้ซึ่งภาพรวมของการทำปฏิกิริยาทั้งทางตรงและทางอ้อมสามารถแสดงได้ดังรูปที่ 2.5



รูปที่ 2.5 กลไกการเข้าทำปฏิกิริยากับสารประกอบต่างๆของโอโซน [Gottschalk และคณะ, 2000] (S: ตัวยับยั้งปฏิกิริยา, R: ผลิตภัณฑ์, M: โมเลกุลสารอินทรีย์ขนาดเล็ก)

2.1.5.1 ปฏิกิริยาทางตรง (direct reaction)

ปฏิกิริยาออกซิเดชันทางตรงระหว่างสารประกอบอินทรีย์กับโอโซนเป็นปฏิกิริยาที่มีอัตราการเกิดปฏิกิริยาค่อนข้างต่ำ โดยมีค่าคงที่ของปฏิกิริยาอยู่ในช่วง $1.0-10^3 \text{ M}^{-1}\text{s}^{-1}$ โมเลกุลโอโซนจะเข้าทำปฏิกิริยากับพันธะที่มีความไม่อิ่มตัว (unsaturated bond) โดยใช้โครงสร้างโมเลกุลที่แสดงความเป็นขั้วเหนี่ยวนำพันธะดังกล่าว ซึ่งสามารถแสดงเป็นสมการได้ดังรูปที่ 2.6



รูปที่ 2.6 ปฏิกิริยาทางตรงของโอโซน [Gottschalk และคณะ, 2000]

2.1.5.2 ปฏิกิริยาทางอ้อม (indirect reaction)

ปฏิกิริยาทางอ้อมเกิดจากการสลายตัวของโอโซนที่ก่อให้เกิดสารที่มีความสามารถในการออกซิไดส์สูงเช่น ไฮดรอกซิลเรดิคัล (hydroxyl radicals, HO^\bullet) ซึ่งมีความสามารถในการทำปฏิกิริยาอย่างรวดเร็ว ($k = 10^8-10^{10} \text{ M}^{-1}\text{s}^{-1}$) กลไกการเข้าทำปฏิกิริยาของเรดิคัลมีความซับซ้อนและถูกรบกวนได้ง่ายจากสารอื่นๆ ทั้งนี้กลไกการเกิดปฏิกิริยาสามารถแบ่งได้เป็นสามส่วนดังนี้

Initiation step

ปฏิกิริยาระหว่างโอโซนกับไฮดรอกไซด์ไอออน (hydroxide ions) ทำให้เกิดซูเปอร์ออกไซด์แอนไอออนเรดิคัล (superoxide anion radical, $O_2^{\bullet-}$) และไฮโดรเปอร์ออกซิลเรดิคัล (hydroperoxyl radical, HO_2^\bullet)

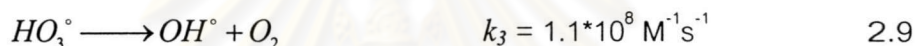


ไฮโดรเปอร์ออกไซด์เรดิคอลลอยในสมดุลกรดเบสดังสมการที่ 2.6

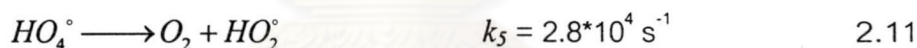


Radical Chain

ซูเปอร์ออกไซด์แอนไอออนเรดิคอลลอย ($O_2^{\circ-}$) จะทำปฏิกิริยากับโอโซนได้โอโซนไนต์แอนไอออนเรดิคอลลอย ($O_3^{\circ-}$) ซึ่งจะสลายตัวในทันทีดังสมการที่ 2.7-2.9



OH° สามารถทำปฏิกิริยากับโอโซนดังสมการที่ 2.10



HO_4° จะสลายตัวได้เป็นออกซิเจนและไฮโดรเปอร์ออกไซด์เรดิคอลลอยซึ่งสามารถเกิดปฏิกิริยาได้ใหม่ดังสมการที่ 2.5 ทำให้เกิดปฏิกิริยาลูกโซ่ โดยมีโมเลกุลสารอินทรีย์อื่นๆทำหน้าที่ส่งเสริมการเกิดปฏิกิริยา (promoter) และหมู่ฟังก์ชันบางส่วนจะทำปฏิกิริยากับ OH° ได้เรดิคอลลอยของสารอินทรีย์ (organic radical, R°) ดังสมการที่ 2.12



ถ้ามีออกซิเจนในระบบจะก่อให้เกิดปฏิกิริยาลูกโซ่อีกครั้ง ดังสมการที่ 2.13 ถึง 2.15



Termination Step

โมเลกุลสารอินทรีย์และสารอนินทรีย์บางตัวสามารถทำปฏิกิริยากับไฮดรอกซิลเรดิคัล (hydroxyl radical, OH°) ได้สารที่มีคุณสมบัติเป็นตัวยับยั้งปฏิกิริยาลูกโซ่ เช่น ไบคาร์บอเนต (bicarbonate) และคาร์บอเนต (carbonate)

การเข้าทำปฏิกิริยาของไบคาร์บอเนตและคาร์บอเนตจะเพิ่มช่วงอายุ (life time) ของไอโซนเพราะไบคาร์บอเนตและคาร์บอเนตจะทำปฏิกิริยากับไฮดรอกซิลเรดิคัลทำให้ปริมาณไฮดรอกซิลเรดิคัลที่จะเข้าทำปฏิกิริยากับไอโซนดังสมการที่ 2.10 ลดลง ซึ่งปฏิกิริยาดังกล่าวสามารถแสดงได้ดังสมการที่ 2.16 และ 2.17



ปฏิกิริยาลูกโซ่อาจถูกยับยั้งโดยการทำปฏิกิริยาระหว่างเรดิคัลสองโมเลกุล เช่น



ในแหล่งน้ำตามธรรมชาติ อัตราการสลายตัวของไอโซนขึ้นอยู่กับปัจจัยหลายอย่าง เช่น ความเป็นกรดต่าง อุณหภูมิ ปริมาณสารอินทรีย์ รวมถึงความเข้มข้นของไบคาร์บอเนต (bicarbonate) และคาร์บอเนต (carbonate) นอกจากนี้ยังมีโมเลกุลสารอีกหลายตัวที่ทำหน้าที่เป็นตัวเริ่มปฏิกิริยา ตัวส่งเสริมการเกิดปฏิกิริยา และตัวยับยั้งปฏิกิริยาดังตารางที่ 2.2

ตารางที่ 2.2 ตัวอย่างตัวเริ่มปฏิกิริยา ตัวส่งเสริมการเกิดปฏิกิริยา และตัวยับยั้งการเกิดปฏิกิริยา สำหรับปฏิกิริยาสลายตัวของไอโซนในน้ำ [Staehelin และ Hoigné, 1983]

ตัวเริ่มปฏิกิริยา (initiator)	ตัวส่งเสริมการเกิดปฏิกิริยา (promoter)	ตัวยับยั้งปฏิกิริยา (scavenger)
OH^- H_2O_2 / HO_2^- Fe^{2+}	Human acid Aryl-R Primary and secondary alcohols	HCO_3^- / CO_3^{2-} PO_3^{4-} human acid alkyl-R tert-butyl alcohol (TBA)

2.1.6 ข้อจำกัดและอุปสรรคในการใช้งานไอโซน

ข้อจำกัดที่สำคัญของการใช้งานไอโซนคือ ต้องทำการผลิตไอโซนเพื่อนำมาใช้งานในทันที ไม่สามารถผลิตเพื่อเก็บไว้ใช้งานในระยะเวลานาน ทั้งนี้เพราะไอโซนจะสลายตัว ดังนั้นการนำไอโซนมาใช้งานจึงต้องพิจารณาปัจจัยที่ส่งผลต่อการสลายตัวของไอโซนดังต่อไปนี้

- ก. ไอโซนจะมีอัตราการสลายตัวเร็วขึ้นเมื่ออุณหภูมิสูงขึ้น ดังนั้นจึงควรใช้ก๊าซเย็นป้อนเข้าระบบเพื่อช่วยควบคุมระบบไม่ให้มีอุณหภูมิสูงเมื่อเกิดปฏิกิริยา
- ข. ไอโซนสามารถสลายตัวได้ด้วยสาเหตุหลายประการ เช่น เมื่อโมเลกุลไอโซนชนกันเอง โมเลกุลไอโซนชนกับอะตอมออกซิเจน หรือโมเลกุลไอโซนถูกชนด้วยอิเล็กตรอน ดังนั้นในการผลิตไอโซนด้วยวิธีอิเล็กโตรไลติกจึงต้องจำกัดพลังงานที่ให้กับขั้วไฟฟ้า ซึ่งส่งผลให้ค่าความเข้มข้นของไอโซนที่ผลิตได้มีค่าจำกัด
- ค. เนื่องจากไอโซนเป็นสารที่มีความสามารถในการออกซิไดซ์สูงมาก จึงอาจออกซิไดซ์กับสารใดๆที่อยู่ในระบบ ดังนั้นจึงต้องพิจารณาเลือกใช้วัสดุที่มีความสามารถทนต่อการถูกออกซิไดซ์ได้ดี
- ง. ก๊าซไนโตรเจนสามารถทำปฏิกิริยากับอิเล็กตรอนพลังงานสูงเกิดเป็นออกไซด์ของไนโตรเจน ดังนั้นเพื่อให้ได้ไอโซนความเข้มข้นสูง จึงควรใช้ก๊าซออกซิเจนบริสุทธิ์ป้อนให้กับเครื่องผลิตไอโซน

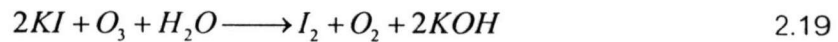
2.1.7 การตรวจวัดไอโซน

การวัดปริมาณไอโซนเป็นสิ่งจำเป็นในการศึกษาลักษณะการถ่ายเทไอโซน วิธีการวัดปริมาณไอโซนมีหลายวิธีได้แก่

2.1.7.1 วิธีไอโอดิเมตริก (Iodometric method)

วิธีไอโอดิเมตริกเป็นวิธีวิเคราะห์หาความเข้มข้นของไอโซนที่สามารถหาปริมาณไอโซนได้ทั้งในวัฏภาคก๊าซและของเหลว วิธีวิเคราะห์นี้ทำปฏิกิริยาในวัฏภาคของเหลวโดยการใช้สารละลายเป็นตัวดูดซึมและทำปฏิกิริยา โดยอาศัยการทำปฏิกิริยาระหว่างไอโซนกับสารละลายโปแทสเซียมไอโอไดด์ (potassium iodide, KI) ดังนั้นในการวัดปริมาณไอโซนในก๊าซจะต้องผ่านก๊าซตัวอย่างที่ต้องการวัดลงในสารละลายโปแทสเซียมไอโอไดด์ และการวัดปริมาณไอโซนในของเหลวเป็นการนำของเหลวตัวอย่างผสมกับสารละลายโปแทสเซียมไอโอไดด์ ปฏิกิริยาที่เกิดขึ้นสามารถแสดงได้

ดังสมการที่ 2.19 โดยไอโอดีน (I_2) ที่อยู่ในสารละลายไปแทนที่ไอโอดีนจะถูกออกซิไดส์โดยไอโอดีนได้เป็นไอโอดีน (I_2)



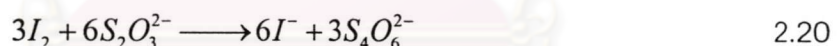
ปริมาณไอโอดีนสามารถหาได้โดยเทียบจากปริมาณสารที่ทำปฏิกิริยาในสารละลายซึ่งแบ่งเป็นสองวิธี ได้แก่

ก. แอบซอร์ปไทโอมิตรี (Absorptiometry)

วิธีนี้จะวัดปริมาณไอโอดีนที่เหลือในสารละลายเพื่อนำไปเทียบหาปริมาณไอโอดีนในก๊าซตัวอย่างที่ถูกทำปฏิกิริยา

ข. คอโลเมตรี (Coulometry)

วิธีนี้จะวัดปริมาณไอโอดีนที่เกิดขึ้นซึ่งเป็นสัดส่วนกับไอโอดีนที่ถูกดูดซึมและทำปฏิกิริยาในสารละลาย โดยการไทเทรตที่ด้วยสารละลายโซเดียมไทโอซัลเฟต ($Na_2S_2O_3$) ปฏิกิริยาที่เกิดขึ้นเป็นดังสมการที่ 2.20 ซึ่งความเข้มข้นของไอโอดีนสามารถคำนวณได้จากปริมาณโซเดียมไทโอซัลเฟตที่ใช้ไป [APHA., 1989]



2.1.7.2 วิธีการวัดปริมาณแสงอัลตราไวโอเล็ต (Ultraviolet photometric method)

ไอโอดีนมีความสามารถในการดูดกลืนแสงในช่วงคลื่นอัลตราไวโอเล็ต โดยความยาวคลื่นที่มีค่าการดูดกลืนสูงสุดคือ 254 นาโนเมตร ค่าการดูดกลืนแสงที่ความยาวคลื่น 254 นาโนเมตรจะลดลงเป็นสัดส่วนกับความเข้มข้นไอโอดีนตามกฎของ Lambert-Beer ดังสมการ

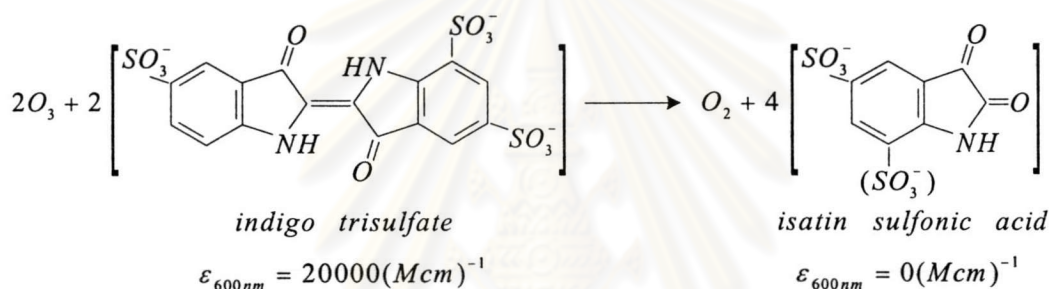
$$I_1 = I_0 10^{-\epsilon c(M)l} \quad 2.21$$

การวัดปริมาณไอโอดีนด้วยวิธีการวัดปริมาณแสงอัลตราไวโอเล็ตนี้สามารถหาปริมาณไอโอดีนได้ในวัฏภาคก๊าซและของเหลว โดยความเข้มข้นสูงสุดที่สามารถวัดได้ด้วยวิธีนี้คือ 150 มิลลิกรัมต่อลิตรสำหรับการหาความเข้มข้นในของเหลว และ 600 มิลลิกรัมต่อลิตรสำหรับการหาความเข้มข้นในก๊าซ

2.1.7.3 วิธีอินดิโก (Indigo method)

วิธีอินดิโกเป็นวิธีวิเคราะห์หาความเข้มข้นของไอโซนที่ละลายอยู่ในน้ำโดยอาศัยหลักการว่าในสารละลายที่มีฤทธิ์เป็นกรด ไอโซนจะทำให้สีของสารละลายอินดิโกไตรซัลเฟต (indigo trisulfate) จางลง โดยสีที่หายไปสามารถวัดได้ในรูปค่าการดูดกลืน (absorbance) ซึ่งจะมีความสัมพันธ์กับความเข้มข้นของไอโซน

โมเลกุลของอินดิโกไตรซัลเฟตประกอบด้วยพันธะคู่ของคาร์บอนเพียงพันธะเดียวที่สามารถทำปฏิกิริยาอย่างรวดเร็วกับไอโซนดังรูปที่ 2.7



รูปที่ 2.7 ปฏิกิริยาออกซิเดชันของอินดิโกไตรซัลเฟตด้วยไอโซน [Rice และคณะ, 1986]

การวิเคราะห์ปริมาณไอโซนด้วยวิธีนี้ควรทำการวัดภายในเวลาหกชั่วโมงนับจากเริ่มเกิดปฏิกิริยา เพราะโมเลกุลไฮโดรเจนเปอร์ออกไซด์และเปอร์ออกไซด์ของสารอินทรีย์สามารถทำปฏิกิริยากับสารละลายอินดิโกได้ในอัตราที่เกิดปฏิกิริยาที่ช้ากว่าการเกิดปฏิกิริยากับไอโซนมาก

2.1.7.4 วิธีเคมีลูมิเนสเซนซ์ (Chemiluminescence Method)

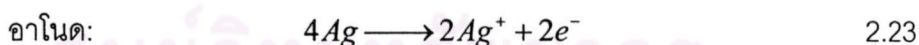
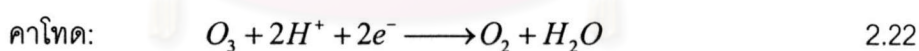
วิธีเคมีลูมิเนสเซนซ์เป็นวิธีวิเคราะห์หาความเข้มข้นของไอโซนที่ละลายอยู่ในน้ำโดยอาศัยหลักการว่ามีสารบางชนิดที่มีความสามารถในการทำปฏิกิริยาอย่างรวดเร็วกับไอโซนและเมื่อเกิดปฏิกิริยาแล้วจะให้แสงสว่างเกิดขึ้น โดยค่าความเข้มแสงที่เกิดขึ้นจะแปรผันตรงกับปริมาณไอโซนในสารละลายตัวอย่าง ตัวอย่างสารเคมีที่สามารถนำมาใช้วิเคราะห์ด้วยวิธีนี้แสดงในตารางที่ 2.3 โดยเรียงตามลำดับความเข้มแสงที่เกิดขึ้นเมื่อทำปฏิกิริยากับไอโซน

ตารางที่ 2.3 สารเคมีที่นำมาใช้วิเคราะห์หาปริมาณโอโซนด้วยวิธีเคมีลูมิเนสเซนซ์

1.	Benzoflavin
2.	Acridine Yellow
3.	Indigotrisulfate
4.	Fluorescein
5.	Eosin Y
6.	Rhodamin B
7.	Chromotropic acid

2.1.7.5 วิธีการใช้เยื่อแผ่น (Membrane Ozone Electrode Method)

วิธีการใช้เยื่อแผ่นเป็นวิธีวิเคราะห์หาความเข้มข้นของโอโซนในน้ำโดยอาศัยหลักการว่า โอโซนที่อยู่ในน้ำจะแพร่ผ่านเยื่อแผ่นแล้วเกิดปฏิกิริยา ชั่วไฟฟ้าที่นิยมใช้ประกอบด้วยทองเป็นขั้วคาโทด (cathode) เงินเป็นขั้วแอโนด (anode) และสารละลายซิลเวอร์โบรไมด์ ($AgBr$) โปแทสเซียมซัลเฟต (K_2SO_4) หรือโปแทสเซียมโบรไมด์ (KBr) เป็นสารละลายอิเล็กโทรไลต์ (electrolyte) โดยมีเทฟลอน (teflon) เป็นเยื่อแผ่น ทั้งนี้ปฏิกิริยาที่เกิดขึ้นที่ขั้วคาโทดและแอโนดแสดงดังสมการที่ 2.22 และ 2.23



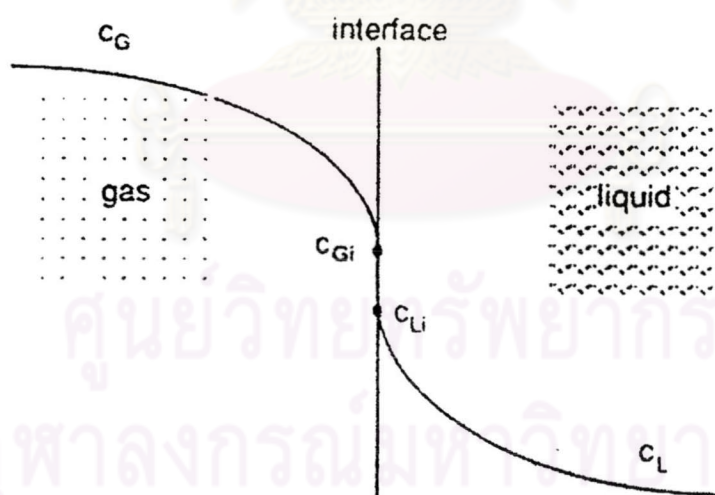
เมื่อปฏิกิริยาเกิดขึ้นจะมีกระแสไฟฟ้าไหลซึ่งค่ากระแสนี้จะเป็นสัดส่วนกับความเข้มข้นของโอโซนในสารละลาย วิธีการนี้มักใช้กรณีต้องการวัดค่าอย่างต่อเนื่อง

2.2 ทฤษฎีที่เกี่ยวข้องกับการถ่ายเทมวลสารระหว่างวัฏภาค

2.2.1 ทฤษฎีฟิล์ม

ไอโซนที่ผลิตจากเครื่องผลิตโดยทั่วไปอยู่ในรูปของส่วนผสมในอากาศหรือในก๊าซ ออกซิเจนในกรณีต้องการความเข้มข้นสูง ในการนำก๊าซไอโซนที่ผลิตได้ไปใช้กำจัดมลพิษทางน้ำ จำเป็นต้องทำให้ไอโซนอยู่ในรูปของเหลวซึ่งโดยทั่วไปนิยมนำก๊าซไอโซนมาสัมผัสกับน้ำเพื่อให้ ไอโซนละลายลงในน้ำ ดังนั้นการถ่ายเทมวลสารจากวัฏภาคก๊าซไปยังวัฏภาคของเหลวและตัวแปร ที่เกี่ยวข้องจึงเป็นปัจจัยที่ควรคำนึงถึงในการพิจารณาประสิทธิภาพของระบบที่ใช้ไอโซน

การถ่ายเทมวลสารระหว่างวัฏภาคเป็นการส่งผ่านมวลสารจากวัฏภาคหนึ่งไปยังอีกวัฏ ภาคหนึ่งผ่านผิวสัมผัส ขณะเกิดการถ่ายเทมวลสารจะมีความต้านทานการถ่ายเท (resistance) เกิดขึ้น ความต้านทานดังกล่าวทำให้ความเข้มข้นของสารจะค่อยๆ ลดลงจากบริเวณที่มีความเข้มข้นสูงไปยังบริเวณที่มีความเข้มข้นต่ำ เช่น ในปรากฏการณ์การถ่ายเทมวลสารจากวัฏภาคก๊าซไป ยังวัฏภาคของเหลว ความเข้มข้นของสารในวัฏภาคก๊าซจะค่อยๆ ลดลงเมื่อเข้าใกล้ผิวสัมผัส ระหว่างวัฏภาค ก่อให้เกิดขึ้นของความเข้มข้น (concentration gradient) บริเวณใกล้ผิวสัมผัสใน แต่ละวัฏภาคดังรูปที่ 2.8



รูปที่ 2.8 ชั้นของความเข้มข้นบริเวณใกล้ผิวสัมผัสระหว่างวัฏภาคก๊าซกับวัฏภาคของเหลว

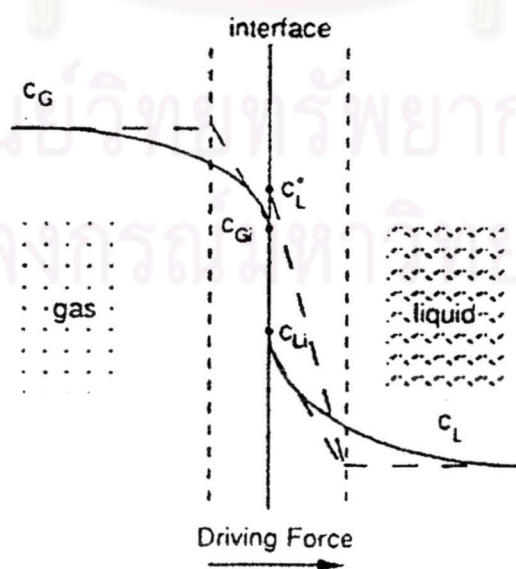
[Gottschalk และคณะ, 2000]

ความต้านทานการถ่ายเทมวลสารในแต่ละวัฏภาคประกอบด้วยสองส่วน ได้แก่ ความต้านทานการแพร่ในชั้นการไหลแบบราบเรียบ (laminar) และความต้านทานในส่วนของสารละลาย (bulk fluid) จากการศึกษาวิจัยที่ผ่านมาพบว่าค่าความต้านทานในสารละลายมีค่าน้อยมากเมื่อเทียบกับความต้านทานในชั้นการไหลแบบราบเรียบ โดยกฎการแพร่ของฟิคค์ (Fick's law of diffusion) เป็นทฤษฎีพื้นฐานที่ใช้ในการพัฒนาทฤษฎีอื่นๆเพื่ออธิบายปรากฏการณ์ถ่ายเทมวลผ่านชั้นการไหลแบบราบเรียบดังกล่าว [Gottschalk และคณะ, 2000]

ทฤษฎีที่ใช้อธิบายปรากฏการณ์ถ่ายเทมวลมีความหลากหลายทั้งสมมติฐานและสภาวะขอบเขต (boundary condition) แต่ส่วนใหญ่จะทำนายว่าค่าสัมประสิทธิ์การถ่ายเทมวลในชั้นการไหล (k , film mass transfer coefficient) แปรผันตามค่าสัมประสิทธิ์การแพร่ (D , molecular diffusion coefficient) ยกกำลัง n โดย n มีค่าอยู่ในช่วง 0.5 ถึง 1 ขึ้นกับความปั่นป่วนของของไหลในระบบ [Gottschalk และคณะ, 2000] ดังสมการ

$$k \propto D^n \quad 2.24$$

ค่า n ในสมการที่ 2.24 ขึ้นกับความปั่นป่วนของของไหล โดยมีผู้เสนอทฤษฎีเพื่อใช้อธิบายว่าในสภาวะที่มีความปั่นป่วนสูงค่า n จะมีค่าเข้าใกล้ 0.5 (surface renewal หรือ penetration theory) แต่ถ้ระบบมีความราบเรียบค่า n จะเข้าใกล้ 1.0 ซึ่งกรณีค่า n เท่ากับ 1 (ทฤษฎีฟิล์ม, film theory) [Gottschalk และคณะ, 2000] ดังนั้นการเลือกค่า n เพื่อนำมาใช้ทำนายค่าสัมประสิทธิ์การถ่ายเทมวลจะขึ้นกับความปั่นป่วนของระบบการไหล



รูปที่ 2.9 ทฤษฎีฟิล์ม [Lewis และ Whitman, 1924 อ้างถึงใน Gottschalk และคณะ, 2000]

ทฤษฎีฟิล์ม (film theory) เป็นทฤษฎีที่นิยมใช้ในการอธิบายปรากฏการณ์การถ่ายเทมวลสารในภูมิภาคที่เกิดขึ้นบริเวณใกล้ผิวสัมผัสระหว่างภูมิภาคภายใต้ปรากฏการณ์การถ่ายเทมวลสารระหว่างภูมิภาค โดยทฤษฎีนี้ตั้งอยู่บนสมมุติฐานว่า ที่บริเวณใกล้ผิวสัมผัสระหว่างภูมิภาคจะมีพื้นผิวบางๆ (ต่อไปนี้จะเรียกพื้นผิวนี้ว่าแผ่นฟิล์ม) ซึ่งอัตราการถ่ายเทมวลจะถูกควบคุมโดยอัตราการแพร่ผ่านแผ่นฟิล์มดังกล่าวนี้โดยอัตราการถ่ายเทมวลต่อหน่วยพื้นที่ (N , mass transfer flux) ขึ้นกับค่าสัมประสิทธิ์การถ่ายเทมวล (k) และค่าความแตกต่างของความเข้มข้นในฟิล์มดังกล่าว

$$N = k_G(C_G - C_{Gi}) = k_L(C_{Li} - C_L) \quad 2.25$$

โดยความเข้มข้นของสารที่แพร่ในแต่ละภูมิภาคบริเวณใกล้ผิวสัมผัส (C_{Li} , C_{Gi}) จะมีค่าไม่เท่ากัน แต่จะมีความสัมพันธ์กันตามกฎสมดุลทางเทอร์โมไดนามิกส์ (laws of thermodynamic equilibrium)

ทั้งนี้ค่า k_L และ k_G มักมีหน่วยที่ไม่สอดคล้องกัน เพราะ k_G จะมีหน่วยสอดคล้องกับความเข้มข้นในภูมิภาคก๊าซ ส่วน k_L จะมีหน่วยสอดคล้องกับความเข้มข้นในเฟสของเหลว แต่สามารถหาค่าอัตราการถ่ายเทมวลของสาร A ผ่านแผ่นฟิล์มเหล่านี้ได้จากการให้อัตราการถ่ายเทมวลผ่านแผ่นฟิล์มก๊าซเท่ากับอัตราการถ่ายเทมวลผ่านแผ่นฟิล์มของเหลว

$$N_A = k_G(P_{AG} - P_{Ai}) = k_L(C_{Ai} - C_{AL}) \quad 2.28$$

หรือ
$$N_A = k_G(C_G - C_{Gi}) = k_L(C_{Li} - C_L) \quad 2.29$$

เมื่อได้ค่าสัมประสิทธิ์การถ่ายเทมวลสาร (k_L และ k_G) แล้ว เราจะสามารถคำนวณหาค่าอัตราการถ่ายเทมวล (Q) ได้จากผลคูณระหว่างค่าอัตราการถ่ายเทมวลต่อหน่วยพื้นที่ (N) และปริมาณพื้นผิวสัมผัสระหว่างภูมิภาคก๊าซและของเหลว (A) ดังนี้

$$Q = NA \quad 2.30$$

เนื่องจากในการทดลองเป็นการถ่ายเทมวลจากฟองก๊าซไปยังของเหลว ซึ่งการวัดพื้นที่ผิวสัมผัสทำได้ค่อนข้างลำบาก ดังนั้นจึงนิยมใช้ค่าอัตราการถ่ายเทมวลต่อหน่วยปริมาตรแทนอัตราการถ่ายเทมวลต่อหน่วยพื้นที่นั่นคือ

$$N = k_L(C_{Li} - C_L) \frac{A}{V} \quad 2.31$$

โดย V แทนปริมาตรภายในระบบ และเรียกค่าพื้นที่ผิวต่อปริมาตร (A/V) ว่าพื้นที่ผิวจำเพาะ (a) นั่นคือ

$$N = k_L a (C_{Li} - C_L) \quad 2.32$$

หรือ $Q = k_L a (C_{Li} - C_L) V \quad 2.33$

ซึ่งในการพิจารณาประสิทธิภาพในการถ่ายเทมวลระหว่างวัฏภาคส่วนใหญ่จะไม่พิจารณาในรูป k_L หรือ a ที่แยกออกจากกัน เพราะการหาค่าทั้งสองนี้ค่อนข้างทำได้ยากและมีความน่าเชื่อถือต่ำ แต่จะพิจารณาค่าทั้งสองนี้พร้อมกัน และเรียกดัชนีว่าสัมประสิทธิ์การถ่ายเทมวลรวมระหว่างก๊าซกับของเหลวต่อหน่วยปริมาตร (overall volumetric gas-liquid mass transfer coefficient, $k_L a$)

โดยทั่วไปไม่สามารถหาค่าความเข้มข้นของสารในแต่ละวัฏภาคที่ผิวสัมผัส (C_{Gi} และ C_{Li}) ได้ ดังนั้นในการคำนวณจึงใช้ค่าความเข้มข้นของสารในของเหลวที่จุดสมดุลกับความเข้มข้นของสารในก๊าซ (C_L^*) ดังสมการที่ 2.34 ซึ่งค่าความเข้มข้นของสารในของเหลวที่จุดสมดุลกับความเข้มข้นของสารในก๊าซหาได้จากสมดุลระหว่างวัฏภาคตามกฎของเฮนรีในหัวข้อ 2.2.2

$$Q = k_L a (C_L^* - C_L) V \quad 2.34$$

2.2.2 สมดุลระหว่างวัฏภาคตามกฎของเฮนรี

สำหรับสารละลายเจือจาง (dilute liquid solution) สามารถหาความสัมพันธ์ระหว่างความเข้มข้นในวัฏภาคก๊าซและวัฏภาคของเหลวที่ผิวสัมผัส ณ สภาวะสมดุลได้ด้วยกฎของเฮนรี

กฎของเฮนรีกล่าวว่า ที่อุณหภูมิคงที่ น้ำหนักของก๊าซใดๆที่จะละลายลงไปของเหลว ปริมาตรหนึ่งเป็นสัดส่วนโดยตรงกับแรงดันไอ (partial pressure) ของก๊าซเหนือของเหลวนั้น ซึ่งแสดงได้ดังสมการ

$$Y = HX \quad 2.35$$

โดย Y = แรงดันไอ (partial pressure) ของก๊าซเหนือของเหลว (มิลลิเมตรปรอท)

X = ความเข้มข้นของก๊าซในของเหลวที่สภาวะสมดุล (โมลก๊าซต่อโมลก๊าซและของเหลว)

H = ค่าคงที่ของเฮนรี ซึ่งมีค่าขึ้นกับอุณหภูมิ (มิลลิเมตรปรอทต่อสัดส่วนโมล)

จากกฎของเฮนรีสามารถอธิบายความสัมพันธ์ระหว่างความเข้มข้นของก๊าซเหนือของเหลวกับความเข้มข้นของก๊าซที่ละลายอยู่ในของเหลว โดยค่าคงที่ของเฮนรีที่น้อยแสดงถึงว่าก๊าซนั้นละลายลงในของเหลวได้มากและตัวแปรทั้งสามตัวดังกล่าวสามารถเปลี่ยนให้อยู่ในรูปของความเข้มข้นได้ดังนี้

$$C = HC^* \quad 2.36$$

เมื่อ C = ความเข้มข้นของก๊าซเหนือของเหลวที่สภาวะสมดุลกับก๊าซที่ละลายอยู่ในของเหลว
 C^* = ความเข้มข้นของก๊าซที่ละลายอยู่ในของเหลวที่สภาวะสมดุลกับก๊าซเหนือของเหลว
 H = ค่าคงที่ของเฮนรี ((มิลลิกรัมก๊าซต่อลิตรก๊าซ)/(มิลลิกรัมก๊าซต่อลิตรของเหลว))

ศูนย์วิทยทรัพยากร
 จุฬาลงกรณ์มหาวิทยาลัย

2.3 ทฤษฎีที่เกี่ยวข้องกับระบบการไหลของของไหล 2 ภูมิภาคในท่อแนวระนาบ

รูปแบบการไหล (Flow pattern)

ลักษณะการไหลของระบบของไหล 2 ภูมิภาค สามารถจำแนกได้จากลักษณะของผิวสัมผัสที่แบ่งภูมิภาคทั้งสองออกจากกัน ในระบบการไหลที่มีก๊าซกับของเหลว รูปแบบของผิวสัมผัสมีความหลากหลายมาก โดยทั่วไปผิวสัมผัสระหว่างภูมิภาคดังกล่าวโดยทั่วไปจะมีลักษณะโค้งเนื่องจากผลกระทบของแรงตึงผิว ดังเห็นได้จากหยดน้ำหรือฟองก๊าซที่มีรูปร่างเป็นทรงกลม และยิ่งหยดน้ำหรือฟองก๊าซนั้นมีขนาดใหญ่ขึ้นเท่าใด รูปร่างของผิวสัมผัสก็จะเปลี่ยนแปลงไปจากทรงกลมมากยิ่งขึ้น

การจำแนกลักษณะการไหลด้วยการแบ่งตามรูปแบบการกระจายตัวของลักษณะผิวสัมผัสระหว่างภูมิภาคสามารถเรียกได้ต่างๆว่า รูปแบบการไหล (flow regime หรือ flow pattern) ในระบบการไหลของของไหลในแนวระนาบจะมีความซับซ้อนมากกว่าการไหลในแนวตั้งฉาก เนื่องจากแรงดึงดูดของโลกที่กระทำในทิศตั้งฉากกับการไหล รูปแบบการไหลหลักที่เกิดขึ้นภายในระบบสามารถแสดงได้ดังรูปที่ 2.11 ซึ่งรูปแบบการไหลแบบต่างๆสามารถอธิบายได้ดังนี้

1. Bubble flow

การไหลโดยมีฟองอากาศขนาดเล็กไหลไปตามกระแสการไหลในตำแหน่งด้านบนของท่อ

2. Plug flow

การไหลโดยฟองอากาศขนาดใหญ่กว่ากรณี bubble flow โดยฟองอากาศจะมีลักษณะคล้ายลูกกระสุน (bullet shape) เคลื่อนที่ไปตามกระแสการไหลในช่วงด้านบนของท่อ

3. Stratified flow

การไหลที่ภูมิภาคของเหลวและก๊าซในระบบแยกจากกันอย่างสมบูรณ์ด้วยแรงโน้มถ่วงของโลก โดยของเหลวไหลในตำแหน่งด้านล่างของท่อ และก๊าซไหลในส่วนบนของท่อ บริเวณรอยต่อระหว่างภูมิภาคทั้งสองเป็นเส้นตรง

4. Wavy flow

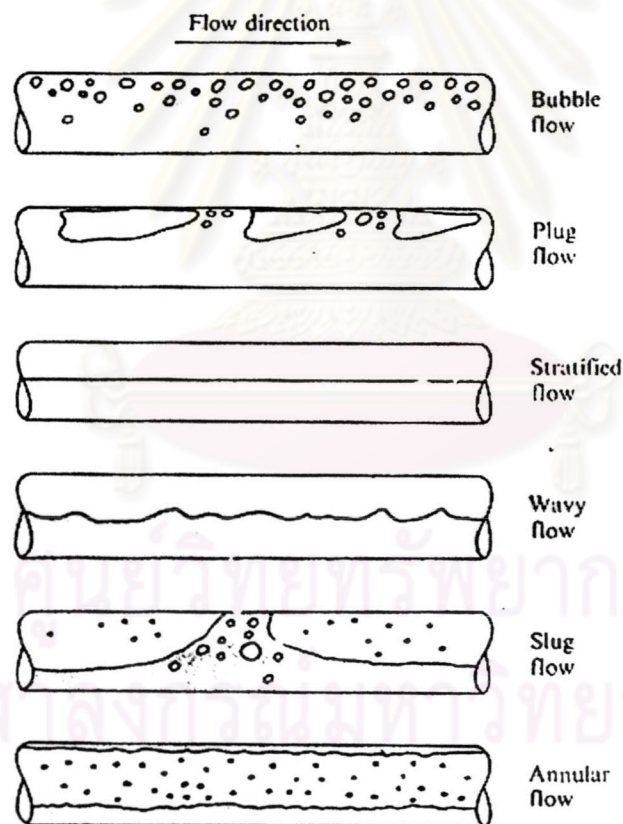
ปรากฏการณ์ที่เกิดขึ้นต่อเนื่องจาก Stratified flow หลังจากการเพิ่มอัตราการไหลของก๊าซให้มากขึ้น ภูมิภาคก๊าซกับภูมิภาคของเหลวแยกกันอย่างชัดเจนและบริเวณพื้นที่ผิวสัมผัสระหว่างภูมิภาคจะมีลักษณะเป็นคลื่น

5. Slug flow

รูปแบบการไหลที่ต่อเนื่องจาก wavy flow คือการไหลที่มีลักษณะเป็นคลื่นบริเวณผิวสัมผัสเช่นเดียวกัน แต่คลื่นจะมีขนาดใหญ่กว่าจนของเหลวบริเวณส่วนยอดของคลื่นสามารถสัมผัสกับท่อส่วนบน และจะพบฟองก๊าซขนาดเล็กกระจายในบริเวณยอดคลื่นที่เกิดขึ้น

6. Annular flow

ปรากฏการณ์ที่เกิดในท่อเมื่ออัตราการไหลของก๊าซสูงมากเมื่อเทียบกับอัตราการไหลของของเหลว ทำให้ของเหลวไหลอยู่บริเวณผนังท่อเป็นแผ่นฟิล์มโดยมีก๊าซไหลอยู่ตรงกลาง ส่วนมากเกิดจากการหยดของเหลวลงในกระแสการไหลก๊าซ ทั้งนี้ฟิล์มของเหลวบริเวณด้านล่างของท่อจะมีความหนามากกว่าฟิล์มทางด้านบน เนื่องมาจากผลกระทบจากแรงดึงดูดของโลก



รูปที่ 2.10 รูปแบบการไหลของการไหลในท่อแนวระนาบสำหรับระบบ 2 วัฏภาค [Butterworth และ Hewitt, 1977]

นอกจากรูปแบบการไหลหลักทั้ง 6 รูปแบบในรูปที่ 2.10 แล้ว ยังมีรูปแบบการไหลที่อยู่ในช่วงการเปลี่ยนแปลงของรูปแบบการไหลหลัก ซึ่งจะกล่าวถึงต่อไปในส่วนของงานวิจัยที่เกี่ยวข้อง

2.4 งานวิจัยที่เกี่ยวข้อง

2.4.1 งานวิจัยที่เกี่ยวข้องกับโอโซน

ประสิทธิภาพหรืออัตราการทำปฏิกิริยาโดยรวมของโอโซนขึ้นกับการถ่ายเทโอโซนจากภูมิภาคก๊าซไปยังภูมิภาคของเหลว การสลายตัวของโอโซนในภูมิภาคของเหลว และอัตราการเกิดปฏิกิริยาระหว่างโอโซนกับองค์ประกอบที่ต้องการทำการออกซิเดชัน ดังนั้นจึงมีความจำเป็นที่จะต้องศึกษาผลกระทบของปัจจัยแต่ละรูปแบบที่มีต่อประสิทธิภาพดังกล่าว รวมถึงผลกระทบของตัวแปรในการปฏิบัติการที่มีต่อประสิทธิภาพนี้

การศึกษาถึงอัตราการสลายตัวของโอโซนในน้ำในระยะแรกส่วนใหญ่เป็นการศึกษาจลศาสตร์ของการทำปฏิกิริยาและการสลายตัวของโอโซนในน้ำ ไม่ว่าจะเป็นการสลายตัวด้วยตัวโอโซนเอง หรือการสลายตัวเนื่องจากสารอื่นๆที่อยู่ในน้ำ ต่อมาได้เริ่มมีการศึกษาถึงกลไกการทำปฏิกิริยาของโอโซนกับสารเคมีต่างๆ ที่ละลายอยู่ในน้ำ เช่น ฟีนอล ไชยาไนต์ และสารอินทรีย์ อย่างไรก็ตามการนำโอโซนมาใช้ก็ยังพบอุปสรรคเนื่องมาจากประสิทธิภาพในการใช้งานที่ค่อนข้างต่ำ

เพื่อพัฒนาการใช้โอโซนให้มีประสิทธิภาพมากขึ้น งานวิจัยในช่วงเวลาถัดมามุ่งเน้นศึกษาพัฒนาวิธีการวัดปริมาณโอโซน กลไกการดูดซับของโอโซนในน้ำ รวมถึงความสามารถในการละลายน้ำของโอโซน การศึกษาพัฒนาวิธีการวัดปริมาณโอโซนทำให้สามารถวัดปริมาณโอโซนได้แม่นยำยิ่งขึ้น [Shechter, 1973; Bader และ Hoigné, 1981] นำมาซึ่งความสะดวกในการศึกษาวิเคราะห์กลไกการดูดซับของโอโซนในน้ำของนักวิจัยในเวลาถัดมาซึ่งมีการศึกษาเกี่ยวกับการดูดซับของโอโซนในน้ำเป็นจำนวนมาก ดังตารางที่ 2.4 อย่างไรก็ตามก็ดีจะพบว่ามีความแตกต่างกันในแต่ละงานวิจัยเนื่องมาจากระบบการใช้งานที่หลากหลาย

การศึกษาความสามารถในการละลายของโอโซนในน้ำ ทำให้ทราบถึงค่าคงที่ของเฮนรี ซึ่ง Venosa และ Opatken (1983) ได้เปรียบเทียบค่าความสามารถในการละลายในน้ำของออกซิเจนกับโอโซนที่อุณหภูมิ 0, 10, 20 และ 30 เซลเซียส ดังตารางที่ 2.5

ตารางที่ 2.4 งานวิจัยที่เกี่ยวข้องกับการดูดซับของไอโซนในน้ำ [Sotelo และคณะ, 1989]

ผู้ทำการศึกษา	ปีที่ทำการศึกษา	ความเป็นกรดต่าง	อุณหภูมิ (องศาเซลเซียส)
Kawamura	1932	-	0-60
Briner and Perrottet	1939	-	3.5-19.8
Rawson	1953	-	9.6-39
Stumm	1958	-	5-25
Mailfert	1970	-	0-60
Li	1977	2.2-7.1	25
Nebel	1981	-	0-50
Roth and Sullivan	1981	0.65-10.2	3.5-60
Caprio และคณะ	1982	-	0.5-41
Morris	1988	7	0-60

ตารางที่ 2.5 ความสามารถในการละลายน้ำของออกซิเจนและไอโซนตามกฎของเฮนรี [Venosa และ Opatken, 1983 อ้างถึงใน Rice และคณะ, 1986]

ก๊าซ	อุณหภูมิ (เซลเซียส)	H (มก.ก๊าซต่อล. อากาศ)/(มก.ก๊าซ ต่อล.น้ำ)	Y (มก.ก๊าซต่อลิตร อากาศ)	X (มก.ก๊าซต่อลิตรน้ำ)
ออกซิเจน (อากาศ)	0	20.4	299	14.6
	10	25.4	289	11.4
	20	29.9	279	9.3
	30	34.2	270	7.9
ไอโซน (ร้อยละ 1 โดยน้ำหนัก)	0	1.56	12.9	8.3
	10	1.86	12.5	6.7
	20	2.59	12.1	4.7
	30	3.80	11.7	3.1

ค่าคงที่ของเฮนรีเป็นค่าที่ขึ้นกับอุณหภูมิเพียงอย่างเดียว ไม่ขึ้นกับความเข้มข้น เพราะฉะนั้นค่าคงที่ของเฮนรีสำหรับก๊าซออกซิเจนไม่ว่าจะมีความเข้มข้นร้อยละ 21 (ในอากาศ) ดังใน

ตารางหรือออกซิเจนบริสุทธิ์ก็จะมีค่าเท่ากัน ดังนั้นจากตารางที่ 2.5 จึงทำให้ทราบว่าไอโซนมีความสามารถในการละลายในน้ำได้ดีกว่าออกซิเจนมากกว่า 10 เท่า ที่อุณหภูมิและความดันมาตรฐาน

ในปี 1989 Sotelo และคณะได้ทำการศึกษากิจการดูดซับของไอโซนในน้ำภายในถังกวนภายใต้อิทธิพลของตัวแปรต่างๆที่มีผลต่อสมดุลของไอโซนระหว่างวัฏภาคก๊าซกับวัฏภาคของเหลว อันได้แก่ อุณหภูมิ ค่าความเป็นไอออนิก (ionic strength) ความเป็นกรดต่าง อัตราการไหลของก๊าซ โดยอยู่บนสมมุติฐานที่ว่ามีความต้านทานการถ่ายเทมวลระหว่างวัฏภาคอยู่เฉพาะที่ฟิล์มของเหลวใกล้ผิวสัมผัสระหว่างวัฏภาคเท่านั้น จากการศึกษาพบว่าเมื่ออุณหภูมิเพิ่มขึ้นและเมื่อน้ำมีความเป็นด่างมากขึ้น (pH สูงขึ้น) ความเข้มข้นของไอโซนในน้ำจะลดลง เนื่องจากการเพิ่มความแตกต่าง และอุณหภูมิจะทำให้อัตราการสลายตัวของไอโซนเร็วขึ้น ในการศึกษาที่พบว่าเมื่อเวลาผ่านไปความเข้มข้นของไอโซนในน้ำจะมีค่าคงที่ซึ่งค่านี้จะมีค่าน้อยกว่าปริมาณที่ไอโซนสามารถละลายได้สูงสุดในน้ำ เนื่องจากผลของการสลายตัวของไอโซนที่เกิดขึ้นระหว่างการเกิดการดูดซับ ความเข้มข้นดังกล่าวนี้จะเรียกว่าความเข้มข้นที่สภาวะคงที่ (steady state) และการศึกษาทำให้ได้มาซึ่งค่าคงที่ของเฮนรีที่สภาวะการดำเนินการต่างๆ [Sotelo และคณะ, 1989]

จากค่าคงที่ของเฮนรี สามารถนำไปสร้างแบบจำลองทางคณิตศาสตร์เพื่อทำนายประสิทธิภาพของการถ่ายเทมวลของไอโซนจากวัฏภาคก๊าซไปยังวัฏภาคของเหลวในถังปฏิกรณ์แนวตั้ง โดยตั้งอยู่บนสมมุติฐานที่ว่า การไหลเป็นแบบ plug flow ความสัมพันธ์ระหว่างความเข้มข้นที่ผิวสัมผัสระหว่างวัฏภาคเป็นไปตามกฎของเฮนรี และอัตราการสลายตัวของไอโซนเป็นปฏิกิริยาอันดับหนึ่ง จากการศึกษาดังกล่าวพบว่าแบบจำลองที่ได้สามารถใช้อธิบายความสัมพันธ์ระหว่างประสิทธิภาพของการถ่ายเทไอโซนกับความเข้มข้นของไอโซนในก๊าซได้เป็นอย่างดี [Morioka และคณะ, 1997] นอกจากนี้ยังมีการนำแบบจำลองทางคณิตศาสตร์ไปออกแบบระบบการบำบัดสารอินทรีย์ในน้ำด้วยถังปฏิกรณ์แนวตั้งที่มีการให้ไอโซนในส่วนล่าง โดยเน้นศึกษาผลของความเร็วก๊าซและความเข้มข้นของไอโซนในก๊าซ ภายใต้สมมุติฐานที่ว่าของเหลวมีการผสมกันอย่างสมบูรณ์ พบว่าแบบจำลองที่สร้างขึ้นสามารถอธิบายระบบบำบัดน้ำเสียที่มีเมธานอลเป็นส่วนประกอบได้ดี ซึ่งสามารถนำไปสู่การใช้จำลองและขยายขนาดระบบบำบัดน้ำเสียที่มีสารอินทรีย์อื่น ๆ เป็นส่วนผสม [Chang และ Chian, 1981]

การสร้างแบบจำลองทางคณิตศาสตร์แสดงแผนผังความเข้มข้นของไอโซนในถังสัมผัสระหว่างก๊าซกับของเหลวในแนวตั้ง (bubble column) ในรูปของตัวแปรพื้นฐาน เช่น อัตราการไหลของน้ำ ความเข้มข้นของไอโซนในก๊าซเริ่มต้น เวลา เป็นต้น ทำการเปรียบเทียบประสิทธิภาพระหว่างแบบจำลองที่เป็น ideal reactors ได้แก่ plug flow และ perfect mixed กับ axial dispersion ด้วยการทำสมดุลมวลโดยสมมุติให้ก๊าซที่ไหลเป็นเนื้อเดียวกัน ภายในถังสัมผัสอยู่ที่สภาวะคงตัว (steady state) ค่า $k_L a$ คงที่ตลอดถึงสัมผัส พบว่าแบบจำลองแบบ axial dispersion ให้ผลการคำนวณใกล้เคียงกับการทดลองมากที่สุด [Le Sauze และคณะ, 1993]

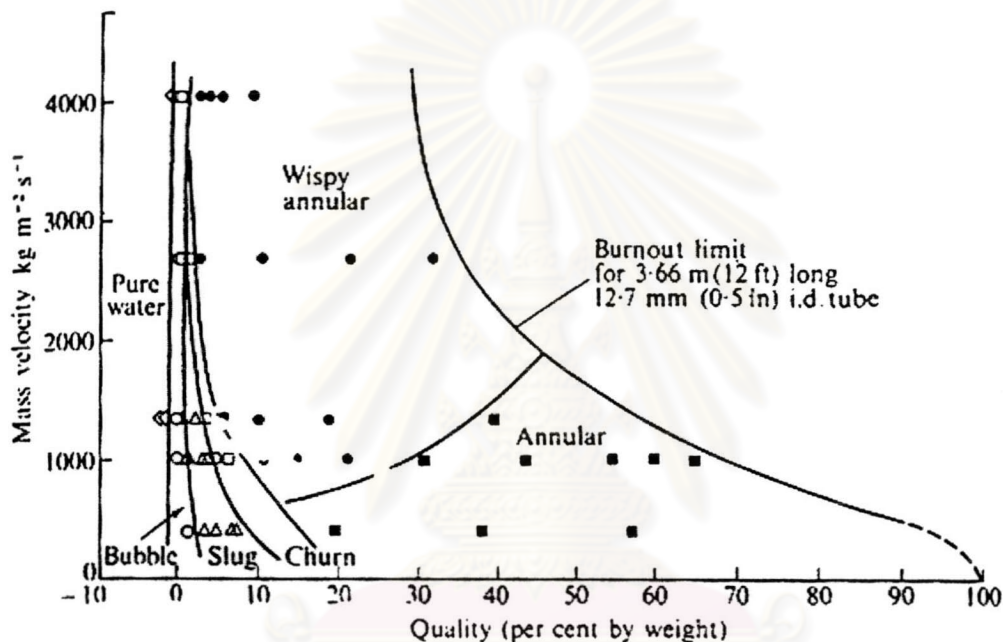
นอกจากนี้ยังมีการศึกษาลักษณะของการแพร่ของไอโซนในถังสัมผัสระหว่างก๊าซกับของเหลวในแนวตั้งที่ต่อกันหลายถัง ที่มีการไหลของก๊าซและของเหลวไปในทางเดียวกัน (cocurrent) และสวนทางกัน (countercurrent) โดยสร้างแบบจำลองทางคณิตศาสตร์เป็นตัวแทนของแผนผังความเข้มข้นของไอโซนในถัง ภายใต้เงื่อนไขว่าถังสัมผัสเป็นถังแบบ axial dispersion และมีการสลายตัวของไอโซน พบว่าแบบจำลองที่ได้สามารถอธิบายแนวโน้มการเปลี่ยนแปลงความเข้มข้นได้ แต่ยังคงต้องการพัฒนาความสัมพันธ์ระหว่างตัวแปรเพื่อให้ทำนายผลได้ใกล้เคียงความเป็นจริงยิ่งขึ้นต่อไป [Zhou และคณะ, 1994] ซึ่งต่อมาได้รับการปรับปรุงแบบจำลองดังกล่าวและทำการทดลองกับน้ำเสียจริงโดยใช้ 2D laser particle dynamics analyzer มาช่วยในการสังเกตผลการทดลอง [Zhou และ Smith, 2000]

ในปี 1997 Hsu และ Huang ได้ศึกษาการถ่ายเทไอโซนในถังปฏิกรณ์แบบ Gas-inducing โดยได้ศึกษาตัวแปรด้านขนาดของระบบเช่น ขนาดของใบปั่นกววน ความยาวและเส้นผ่านศูนย์กลางกลางของ draft tube เพื่อออกแบบถังปฏิกรณ์แบบใหม่ที่มีประสิทธิภาพในการถ่ายเทมวลที่ดี [Hsu และ Huang, 1997] และได้มีการนำแบบจำลองดังกล่าวไปสร้างถังปฏิกรณ์จริงในปี 2002 ซึ่งได้ทำการศึกษาผลของตัวแปรต่างๆที่มีต่อการถ่ายเทไอโซนลงในน้ำในถังปฏิกรณ์แบบ Gas-inducing ที่สร้างขึ้นใหม่นี้เช่น ความเร็วในการปั่นกววน ระดับน้ำ อุณหภูมิ และความเร็วของก๊าซในระบบกึ่งกะ (semibatch) ผลการทดลองแสดงให้เห็นว่าค่าสัมประสิทธิ์การถ่ายเทมวลมีค่าสูงขึ้นเมื่อความเร็วในการปั่นกววน ความเร็วของก๊าซสูงขึ้น และลดลงเมื่อระดับน้ำสูงขึ้น [Hsu และคณะ, 2002]

เมื่อปี 2003 ที่ผ่านมา Farines และคณะได้ทำการศึกษาการถ่ายเทไอโซนจากก๊าซสู่น้ำในถังปฏิกรณ์แบบ packed bed ที่มีซิลิกาเจลอยู่ภายใน พบว่าการเพิ่มอัตราการไหลของก๊าซและความสูงของ bed ส่งผลให้ความเข้มข้นของไอโซนที่สภาวะคงตัว (steady state) และค่าสัมประสิทธิ์การถ่ายเทมวลรวมมีค่าสูงขึ้น ส่วนการเพิ่มอัตราการไหลของของเหลวส่งผลในทางตรงกันข้าม [Farines และคณะ, 2003]

2.4.2 งานวิจัยที่เกี่ยวข้องกับรูปแบบการไหลของของไหล 2 วัฏภาคในท่อแนวระนาบ

การจำแนกรูปแบบการไหลของระบบของไหล 2 วัฏภาคในท่อแนวระนาบสามารถอธิบายให้เข้าใจในพฤติกรรมของของไหลในระบบได้ง่ายด้วยการเขียนกราฟระหว่างตัวแปรต่างๆ เช่น ความเร็ว อัตราการไหล เป็นต้น ซึ่งในช่วงแรกนิยมเขียนกราฟระหว่างตัวแปรเพียงสองตัว เช่น อัตราการไหลของมวล (mass velocity) กับสัดส่วนมวลของก๊าซต่อของเหลว (mass fraction) ดังรูปที่ 2.12



รูปที่ 2.11 รูปแบบการไหลของการไหลในท่อแนวระนาบสำหรับระบบไอน้ำ-น้ำที่ความดัน 75 บาร์ [Bennett, Hewitt, Kearsy, Keeys, และ Lacey, 1965 อ้างถึงใน Butterworth และ Hewitt, 1977]

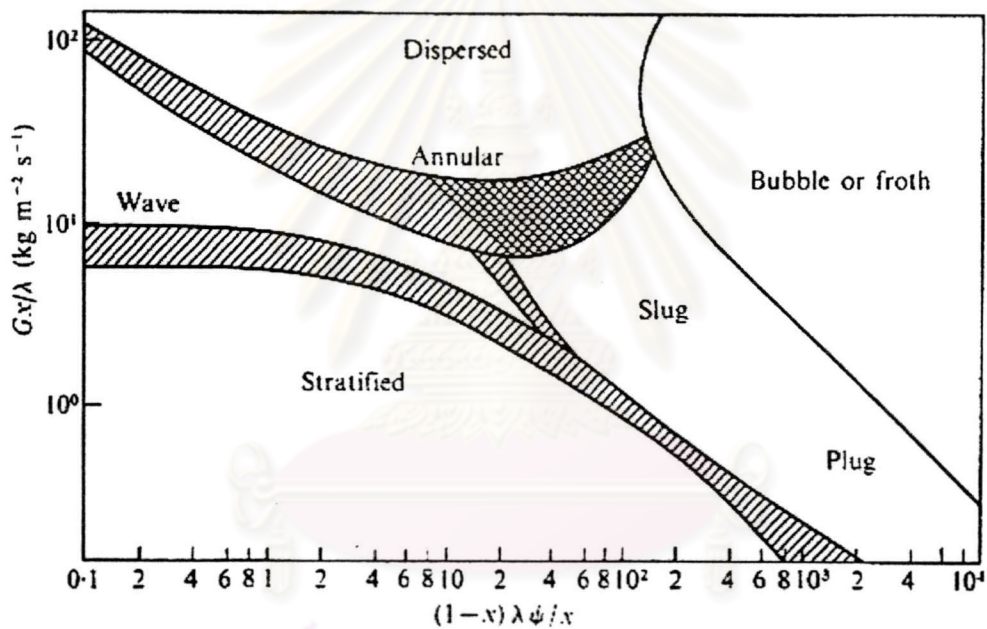
การเขียนกราฟระหว่างตัวแปรเพียงสองตัวดังรูปที่ 2.11 ไม่สามารถจำแนกรูปแบบการไหลได้อย่างชัดเจน จึงมีความพยายามศึกษาหาความสัมพันธ์ในรูปแบบตัวแปรไร้มิติที่สามารถนำมาเขียนกราฟเพื่ออธิบายรูปแบบการไหลได้ง่ายขึ้น ตัวอย่างเช่น Baker (1958) Scott (1963) Schicht (1969) Taitel กับ Duckler (1976) เป็นต้น โดยผู้ศึกษาแต่ละท่านได้สร้างแผนผังแสดงรูปแบบการไหลโดยใช้ตัวแปรไร้มิติต่างๆกัน และผู้ที่ทำการศึกษาค้นคว้าที่ได้รับการยอมรับคือ Baker

ในปี 1958 Baker ได้เขียนกราฟแสดงความสัมพันธ์ระหว่าง $\frac{Gx}{\lambda}$ กับ $(1-x)\frac{\lambda\phi}{x}$ ได้ดังรูปที่ 2.12 โดย G คือ mass flux, x คือ mass fraction และ λ กับ ϕ มีค่าดังสมการ

$$\lambda = \left(\frac{\rho_G}{\rho_A}\right)\left(\frac{\rho_L}{\rho_W}\right)^{1/2} \quad 2.32$$

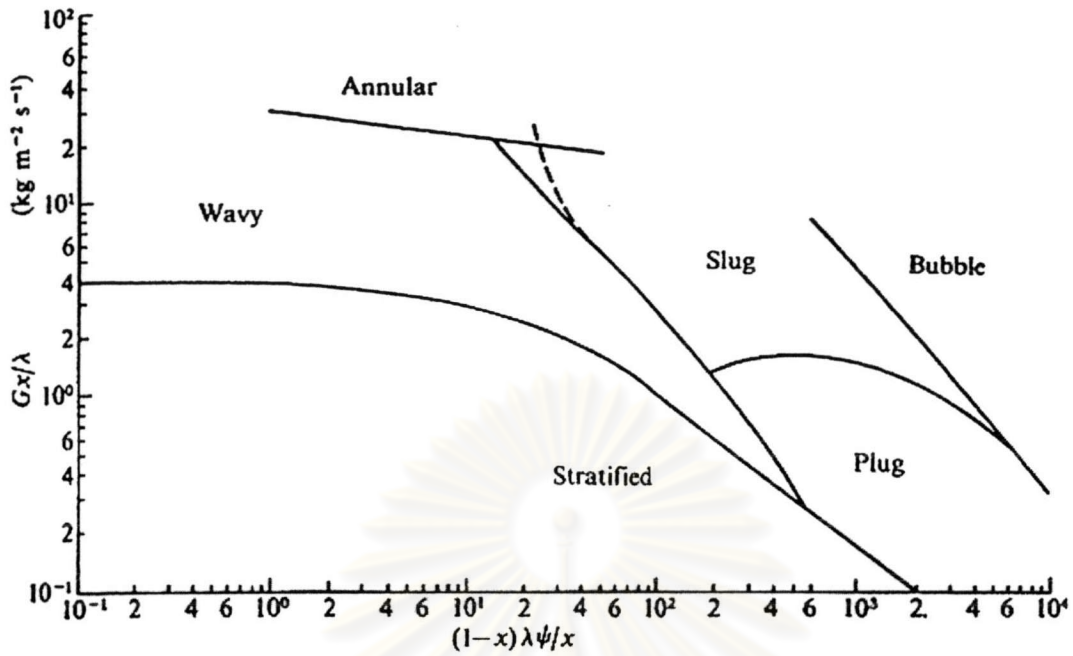
$$\phi = \frac{\sigma_W}{\sigma_L} \left[\frac{\mu_L}{\mu_W} \left(\frac{\rho_W}{\rho_L}\right)^2 \right]^{1/3} \quad 2.33$$

ดังนั้นสำหรับระบบที่ประกอบด้วยอากาศกับน้ำ ค่า λ กับ ϕ จะมีค่าเท่ากับ 1



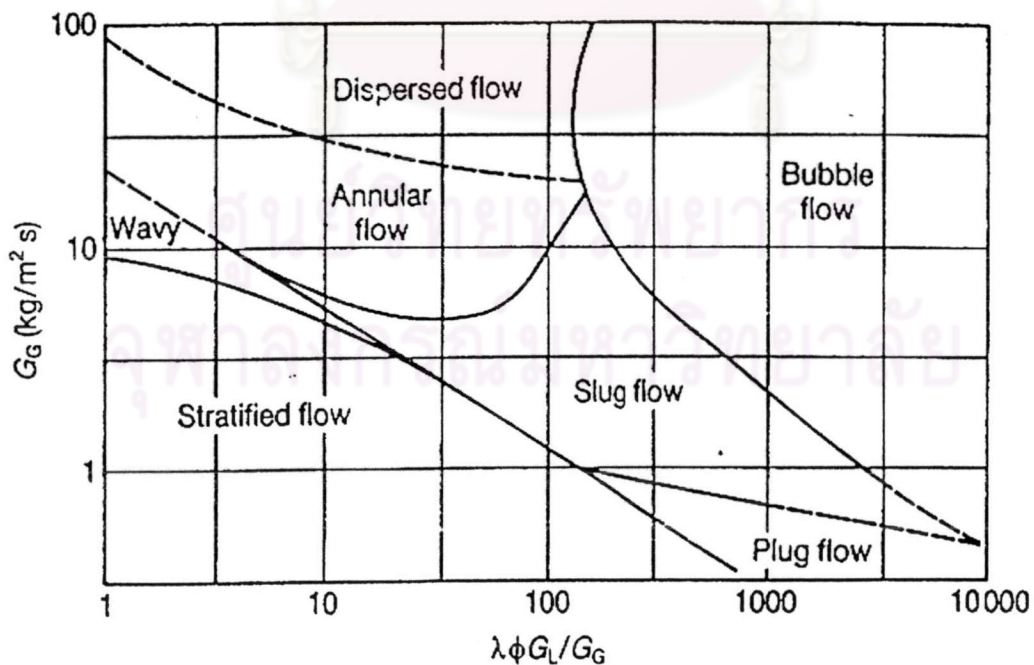
รูปที่ 2.12 แผนผังแสดงรูปแบบการไหลตามการศึกษาของ Baker (1958) ซึ่งได้รับการปรับปรุงโดย Scott (1963) [Butterworth และ Hewitt, 1977]

หลังจากนั้นในปี 1963 Scott ได้ทำการปรับปรุงกราฟของ Baker ได้ดังรูปที่ 2.12 และในปี 1969 Schicht ยังได้ศึกษารูปแบบการไหลสำหรับ 2 ภูมิภาคของการไหลแนวระนาบเช่นเดียวกัน ได้ผลการศึกษาดังรูปที่ 2.13 ซึ่งพบว่าสามารถอธิบายปรากฏการณ์ที่เกิดขึ้นได้ดีขึ้น



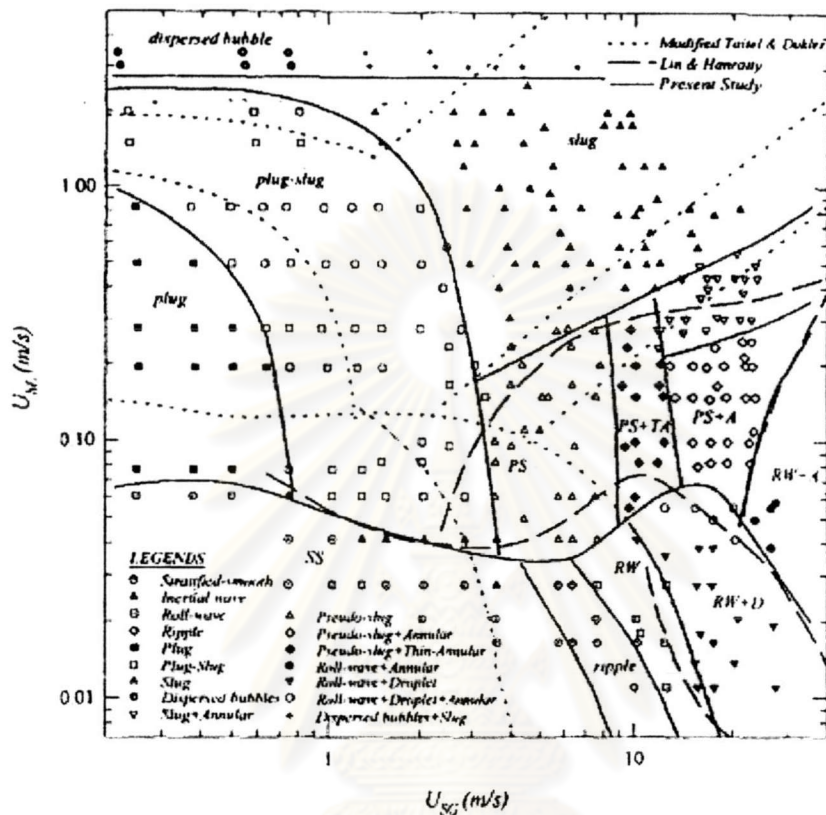
รูปที่ 2.13 แผนผังแสดงรูปแบบการไหลตามการศึกษาของ Schicht (1969) [Butterworth และ Hewitt, 1977]

ในปี 1976 Taitel และ Duckler ได้พัฒนากราฟแสดงรูปแบบการไหลโดยใช้ตัวแปรไร้หน่วย 5 ตัวกับระบบของไหลอากาศและน้ำที่อุณหภูมิ 20 องศาเซลเซียสได้กราฟแสดงรูปแบบการไหลดังรูปที่ 2.14

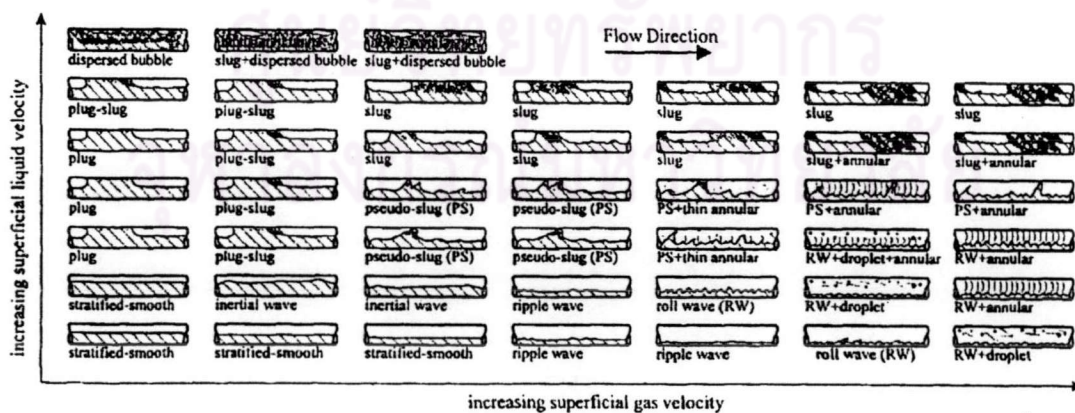


รูปที่ 2.14 แผนผังแสดงรูปแบบการไหลตามการศึกษาของ Taitel และ Duckler (1976) [Darby, 2001]

การวิจัยในช่วงหลังได้มีการนำอุปกรณ์ที่สามารถถ่ายภาพรูปแบบการไหลด้วยความเร็วสูง
 ยิ่งขึ้นมาใช้ ทำให้การจำแนกรูปแบบการไหลทำได้แม่นยำยิ่งขึ้น เช่น Wong และ Yau ได้ใช้กล้อง
 ถ่ายภาพเคลื่อนที่ด้วยความเร็วสูงมาใช้ ได้ผลการทดลองดังรูปที่ 2.15 และ 2.16



รูปที่ 2.15 แผนผังแสดงขอบเขตรูปแบบการไหลตามการศึกษาของ Wong และ Yau [Wong และ Yau, 1997]



รูปที่ 2.16 ภาพแสดงลักษณะของรูปแบบการไหลตามการศึกษาของ Wong และ Yau [Wong และ Yau, 1997]

นอกจากรูปแบบการไหลหลักทั้ง 6 รูปแบบในรูปที่ 2.10 แล้วจะพบว่ามียุทธศาสตร์การไหลที่อยู่ในช่วงเปลี่ยนแปลงระหว่างรูปแบบการไหลหลัก โดยผู้วิจัยแต่ละท่านเรียกชื่อรูปแบบการไหลในช่วงเปลี่ยนแปลงนี้แตกต่างกันไป เช่น รูปแบบการไหลแบบ plug-slug [Wong และ Yau, 1997] และรูปแบบการไหลแบบ slug-wavy [Zürcher และคณะ, 2002] ซึ่งเป็นรูปแบบการไหลที่เกิดขึ้นในช่วงที่ plug กำลังเปลี่ยนแปลงเป็น slug และ slug กำลังเปลี่ยนแปลงไปเป็น wavy ตามลำดับ

เนื่องจากรูปแบบการไหลที่หลากหลายและตัวแปรที่เกี่ยวข้องจำนวนมากทำให้มีงานวิจัยจำนวนมากที่ศึกษาปรากฏการณ์การการไหลของของไหล 2 ภูมิภาค โดยแยกพิจารณาแยกตามรูปแบบการไหล ตัวอย่างเช่น การศึกษาปรากฏการณ์การไหลแบบ slug เริ่มต้นจาก Dukler and Hubbard ในปี 1975 โดยได้สร้างแบบจำลองเพื่ออธิบายรูปแบบการไหล จากนั้นแบบจำลองดังกล่าวถูกปรับปรุงและขยายช่วงการใช้งานจากนักวิจัยหลายท่าน เช่น Nicholson และคณะในปี 1978 Fabre และคณะในปี 1983 Bornea และ Brauner ในปี 1985 Andreussi และ Bendiksen ในปี 1989 Andreussi และคณะในปี 1993 Moalem และคณะในปี 1991 เป็นต้น จนครอบคลุมช่วงการไหลเกือบทั้งหมด ซึ่งแบบจำลองดังกล่าวสามารถใช้อธิบายความเร็วเฉลี่ยของของเหลว ความดัน ความยาวและความถี่ของ slug แต่ก็มีตัวแปรบางตัวที่ยังไม่ได้คำนึงถึงเช่น void fraction ซึ่ง Sharma และคณะได้ทำการศึกษาในปี 1998 [Sharma และคณะ, 1998]

นอกจากงานวิจัยที่ศึกษาปรากฏการณ์ที่เกิดขึ้นในแต่ละรูปแบบการไหลแล้ว ยังมีงานวิจัยจำนวนหนึ่งที่ศึกษาความสัมพันธ์ระหว่างตัวแปรต่างๆ เพื่อสร้างแบบจำลองที่ใช้อธิบายรูปแบบการไหล ซึ่งในปี 1983 Rouhani และ Sohal ได้รวบรวมและเปรียบเทียบกราฟแผนผังรวมถึงแบบจำลองของงานวิจัยในอดีต ทั้งนี้แบบจำลองที่ได้รับความนิยมมากที่สุดคือแบบจำลองที่ Taitel และ Dukler พัฒนาขึ้นในปี 1976 โดยพบว่ามียุทธศาสตร์การไหลจำนวนมากนำแบบจำลองดังกล่าวมาใช้และปรับปรุงความแม่นยำในการทำนายผล [Abdul-Majeed, 1996; Akbar และ Ghiaasiaan, 2003] รวมถึงมีการสร้างความสัมพันธ์ระหว่างตัวแปรอื่นๆที่เกี่ยวข้องที่ Taitel และ Dukler ยังไม่ได้คำนึงถึง เช่น friction factor [Spedding, 1997]

งานวิจัยในช่วงหลังส่วนใหญ่เป็นการศึกษาแบบจำลองทางคณิตศาสตร์โดยหาแนวทางในการทำนายผลที่ให้ค่าแม่นยำใกล้เคียงกับผลการทดลองจริงมากที่สุด [Lun และคณะ, 1996] โดยได้มีการปรับปรุงแบบจำลองของงานวิจัยที่ผ่านมาควบคู่กับการศึกษาข้อมูลผลการทดลองจำนวนมากด้วยการใช้วิธีวิเคราะห์ทางสถิติ [Tribbe และ Müller-Steinhagen, 2000]